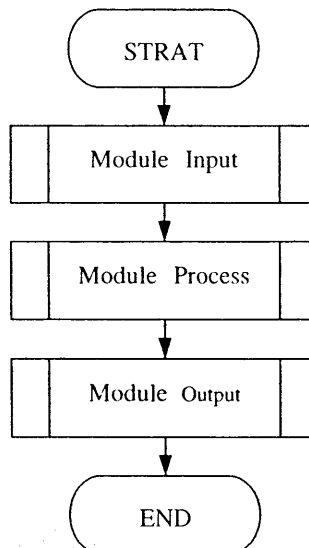


## บทที่ 4

### ผลการวิจัย

#### 1. โครงสร้างของโปรแกรม

งานวิจัยนี้ได้นำโปรแกรมภาษาวิชาลนบลิก เข้ามาพัฒนาโปรแกรมออกแบบ ซึ่งภาษาวิชาลนบลิกเป็นภาษาที่ได้รับความนิยมเป็นอย่างมาก เพราะเป็นภาษาที่มีการพัฒนาอย่างต่อเนื่อง และสร้างเครื่องมือใหม่ๆ ที่มีความสามารถติดต่อกับผู้ใช้งานได้อย่างมีประสิทธิภาพ ผู้วิจัยจึงเล็งเห็นถึงความเป็นไปได้ของโปรแกรมที่ได้รับการพัฒนามีการพัฒนาไปอย่างไม่หยุดนิ่ง ในส่วนของโครงสร้างพื้นฐานหลักของโปรแกรมแสดงดังภาพที่ 4.1 ซึ่งแบ่งการทำงานออกเป็น 3 ส่วนหลักๆ



ภาพที่ 4.1 โครงสร้างพื้นฐานสามส่วนหลักของโปรแกรม

#### (1) ข้อมูลนำเข้า

โปรแกรมได้ออกแบบให้ผู้ใช้งานสามารถนำข้อมูลเข้าเพื่อทำการประมวลผลได้หลากหลายรูปแบบ ซึ่งได้แบ่งการทำงานออกเป็นส่วนย่อย ๆ ดังแสดงในภาพที่ 4.2 และ 4.3

ระบบหน่วย(Unit)ของโปรแกรมมีหน่วยความยาว Meter ส่วนหน่วยของแรง kN

พื้นที่การทำงาน(Work area) ให้ผู้ใช้งานเดาเพื่อแสดงภาพได้ชัดเจน

จำนวนของฐานราก(Number of nodes) ต้องไม่น้อยกว่า 3 ฐาน และไม่มากกว่า 200 ฐาน

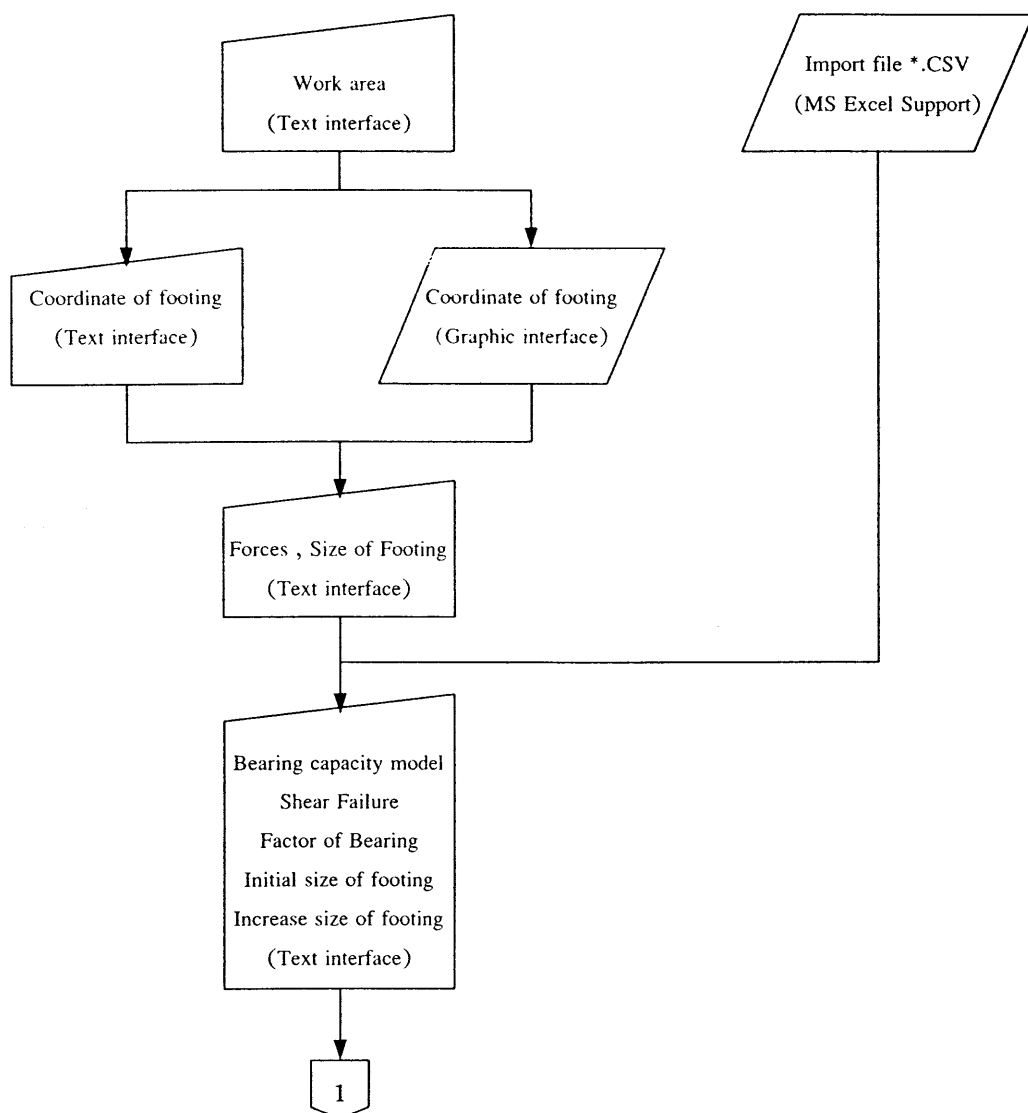
ตำแหน่งของฐานราก(Coordinate) โปรแกรมได้ออกแบบให้ผู้ใช้งานกรอกข้อมูลเป็นระบบพิกัด(Text interface) หรือคลิกเลือกตำแหน่งลงบนพื้นที่ทำงาน เช่นเดียวกับโปรแกรมเขียนแบบทั่วไป(Graphic interface) สามารถตั้งขนาดจุดกริด และลักษณะการเคลื่อนที่ตามจุดกริดที่สร้างเพื่อควบคุมระยะพิกัดให้มั่นยำ

การทำงานในส่วนที่นำเข้าข้อมูล(Import file) จำนวน ตำแหน่ง หน้าหน้ากระทำ และขนาดของฐานราก สามารถนำเข้ามาจากไฟล์ของโปรแกรม Microsoft Excel (ไฟล์ข้อมูลเอกสารชนิด csv) ซึ่งรูปแบบการกรอกข้อมูลจะอธิบายในภาคผนวก ข

แรงกระทำต่อฐานราก(Forces) พิจารณาแยกออกเป็นน้ำหนักบรรทุกคงที่ กับน้ำหนักบรรทุกเคลื่อนที่ สองกรณีเป็นแรงกระทำในแนวตั้ง แรงกระทำทางด้านข้าง(Shear)และโมเมนต์ นำมานศึกษาในการประมาณค่าของแบบจำลอง Vesic เท่านั้น ในส่วนขนาดของฐานรากจะบุหรือไม่ขึ้นอยู่กับใช้งานออกแบบ(Design)หรือทบทวนการออกแบบ(Redesign)

แบบจำลองในการประมาณค่ากำลังรับน้ำหนักบรรทุกของดินได้ฐานรากได้เปิดโอกาสผู้ใช้สามารถที่จะเลือกใช้วิธีของ Terzaghi หรือ Vesic และยังรวมถึงการพิจารณาการพิบัติของดินเนื่องจากแรงเฉือนทั่วไป หรือแรงเฉือนเฉพาะที่ สำหรับค่าตัวประกอบกำลัง(Factor of Bearing)นำเข้าข้อมูลตามแบบจำลองและการพิบัติ

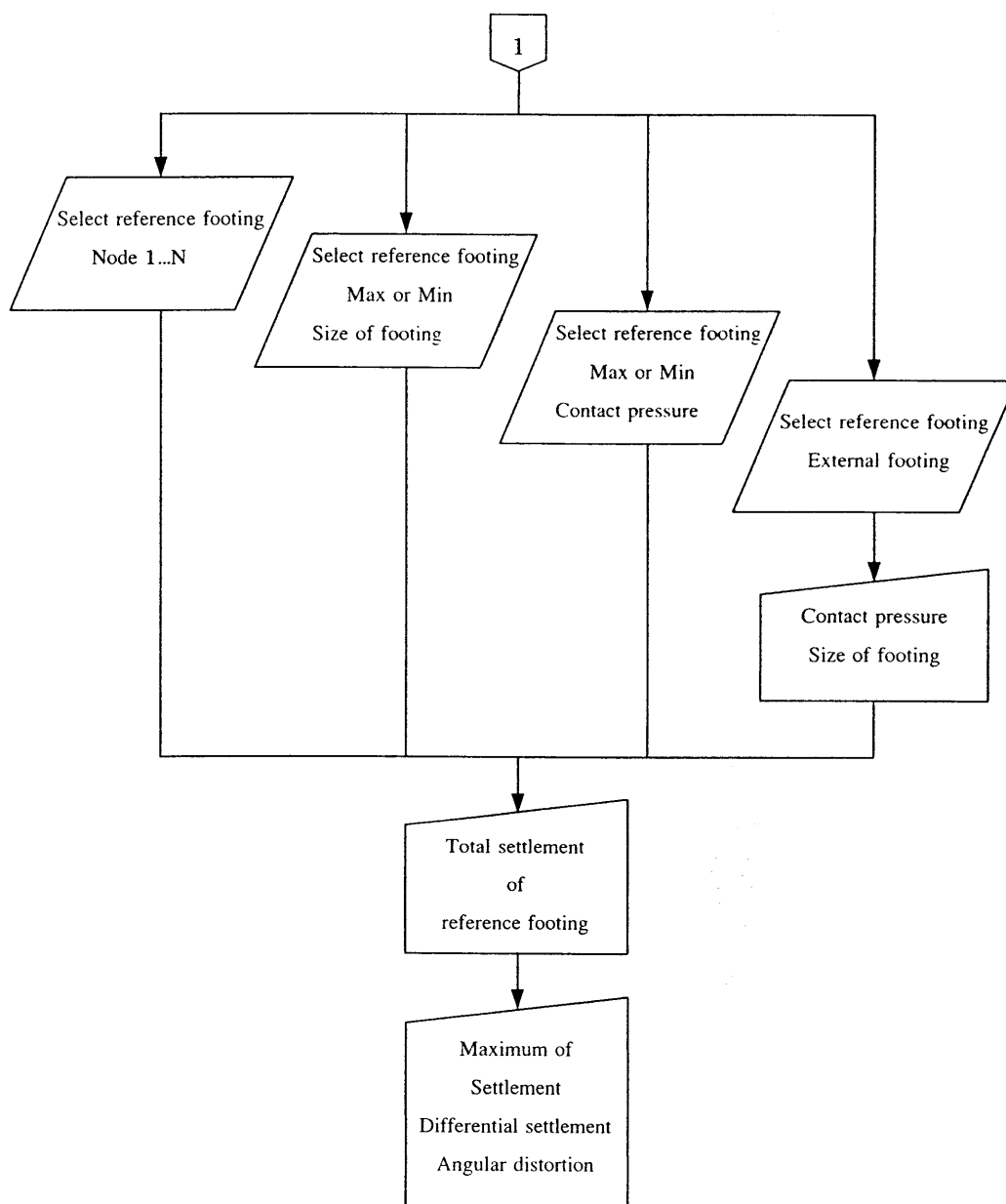
ขนาดฐานรากเริ่มต้น(Initial size of footing) และ ขนาดฐานรากที่จะปรับเพิ่มขึ้น(Increase size of footing)ใช้เป็นค่าเริ่มต้นในการหาค่าของฐานราก



ภาพที่ 4.2 โครงสร้างการนำข้อมูลเข้าของการประมาณค่ากำลังรับน้ำหนักบรรทุกของดิน

การเลือกรากอ้างอิงเพื่อนำมาประมาณค่าการทรุดตัวของฐานราก และยังใช้เป็นฐานอ้างอิงในการประมาณค่าการทรุดตัวของฐานรากอื่นๆ ของอาคารจากค่าอัตราส่วนการทรุดตัว โปรแกรมให้ผู้ใช้เลือกรากภายในตัวอาคารตั้งแต่ node 1 ถึง N หรือ ฐานรากที่มีขนาดฐานใหญ่สุดหรือเล็กสุด หรือ ฐานรากที่มีแรงดันจากฐานรากสูงสุดหรือต่ำสุด หรือให้ผู้ใช้เลือกใช้นอกเหนือจากฐานรากภายในตัวอาคารโดยค่าที่ได้อ่านมาจากผลการทดสอบภาคสนาม หรือ ฐานรากภายนอกอื่น ซึ่งต้องทราบค่าแรงดันและขนาดฐาน

ระบุค่าการทรุดตัวรวมของฐานรากอ้างอิงที่ต้องการใช้ในการวิเคราะห์ค่าอัตราส่วนการทรุดตัว เนื่องจากการประมาณค่าการทรุดตัวในที่นี้เป็นเพียงหมวดล้ำหน้าสนับสนุนการคำนวณ ผู้ใช้ไม่จำเป็นต้องใช้ก็ได้เพียงแต่ผู้ใช้ประมาณค่าการทรุดตัวของฐานรากอ้างอิงจากข้อมูลอื่นหรือโปรแกรมอื่น



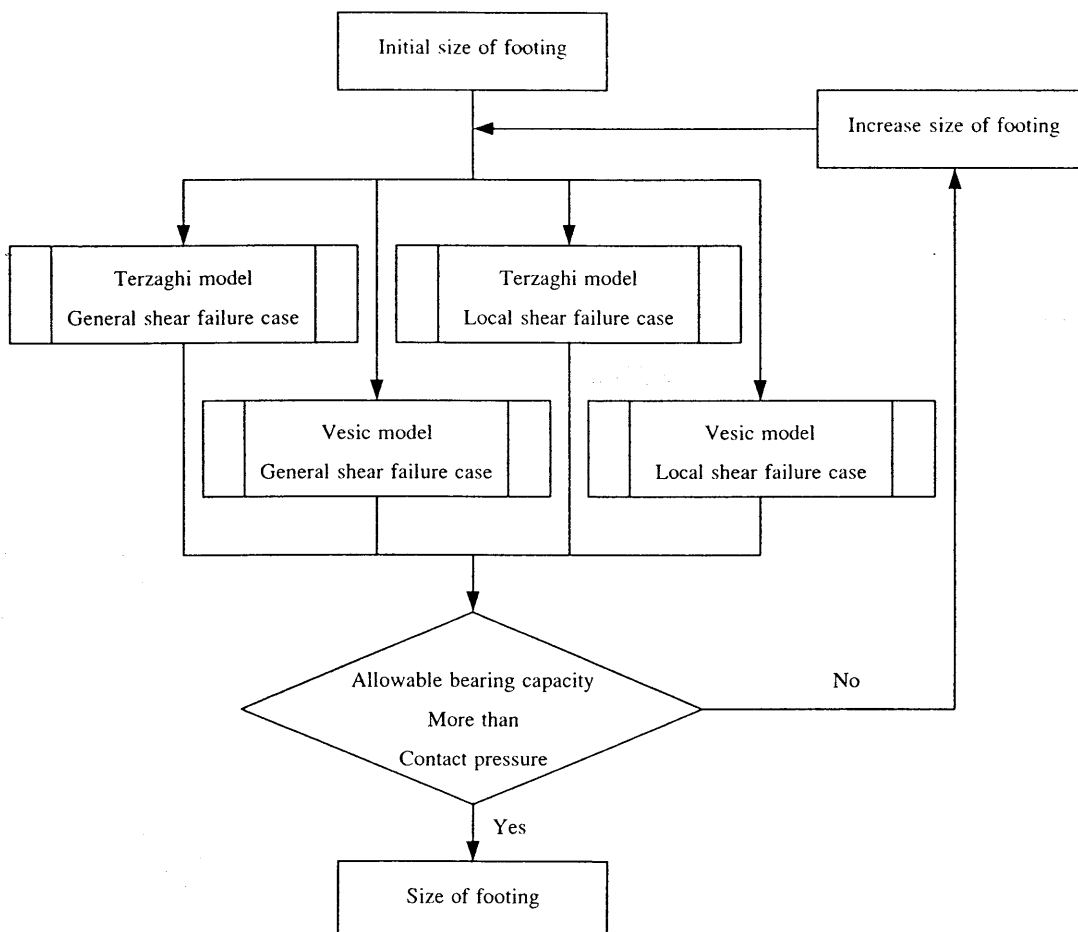
ภาพที่ 4.3 โครงสร้างการนำข้อมูลเข้าของการประมาณค่าการทรุดตัวของฐานราก

ค่าที่ยอมให้เกิดสูงสุดของการทรุดตัว การทรุดตัวไม่เท่ากัน และมุบidge ระหว่างฐานราก ผู้ใช้ต้องเป็นผู้กำหนดขอบเขตในส่วนนี้เพื่อให้โปรแกรมนำไปพิจารณาฐานรากที่เป็นปัญหาแสดงต่อผู้ใช้งานตามเงื่อนไข

## (2) การประมวลผล

แบ่งการประมวลผลออกเป็น 3 ส่วนหลัก คือออกแบบฐานรากสี่เหลี่ยมจัตุรัสตามค่ากำลังรับน้ำหนักบรรทุกของดิน ตรวจสอบฐานรากสี่เหลี่ยมจากค่ากำลังรับน้ำหนักบรรทุกของดิน และตรวจสอบฐานรากจากค่าการทรุดตัวของฐานรากอ้างอิง ซึ่งแต่ละส่วนยังแบ่งแยกย่อยออกเป็นส่วนๆ ดังแสดงในภาพที่ 4.4 ,4.5 และ 4.6 ตามลำดับ

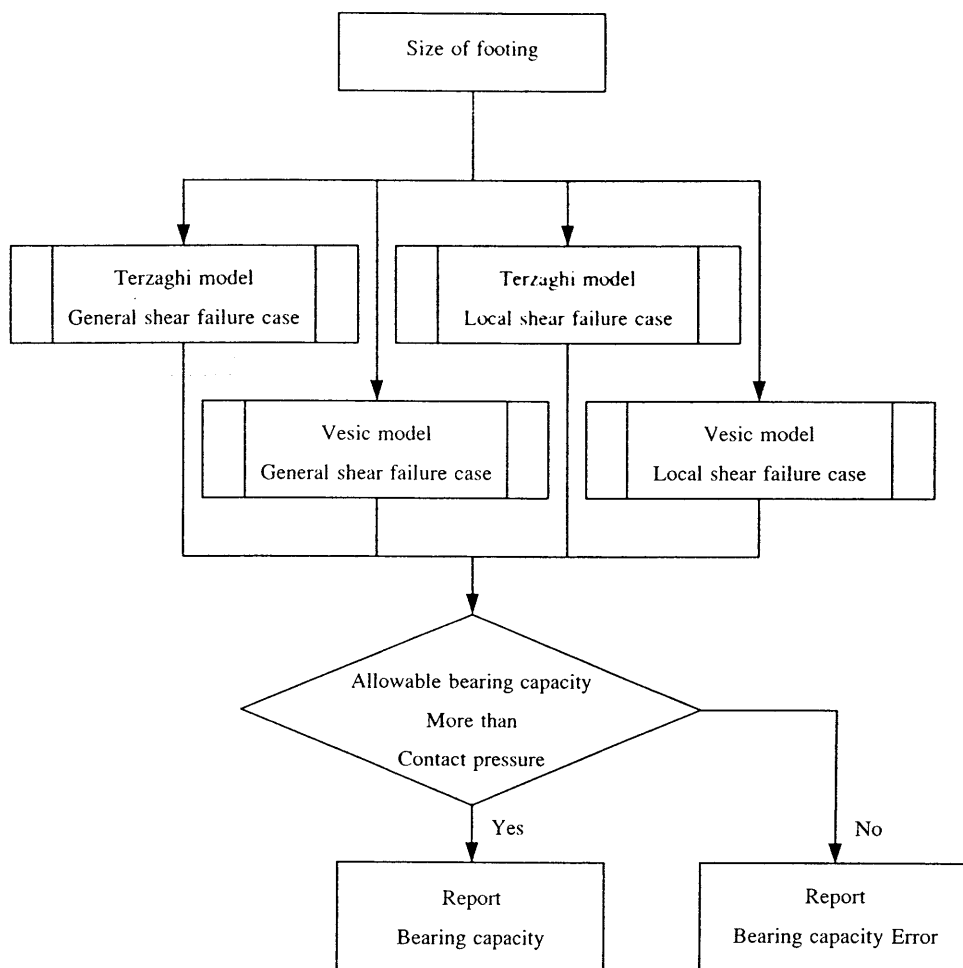
อธิบายโดยสร้างภาพที่ 4.4 การออกแบบฐานรากสี่เหลี่ยมจัตุรัสตามค่ากำลังรับน้ำหนักบรรทุกของดิน ได้ให้กำหนดขนาดฐานรากเริ่มต้น(Initial size of footing) เป็นขนาดฐานรากที่ทำการก่อสร้างได้จริง และจะปรับเพิ่มขึ้นทุกๆ ช่วงค่า(Increase size of footing) ที่กำหนดไว้ สาเหตุที่ต้องให้กำหนดขนาดฐานรากเริ่มต้น เพราะสมการประมาณค่ากำลังรับน้ำหนักบรรทุกของดินจะต้องทราบค่าขนาดของฐานรากก่อน เมื่อออกแบบตามแบบจำลองต่างๆ ที่เลือกไว้จะได้ค่ากำลังรับน้ำหนักบรรทุกปลดภัยของดินและค่าที่ได้ต้องมากกว่าแรงดันดินได้ฐานราก จึงถือได้ว่าขนาดฐานรากนั้นมีขนาดเล็กสุดในการออกแบบ ถ้าไม่ปลดภัยโปรแกรมจะปรับเพิ่มขนาดฐานรากเพิ่มขึ้นอีกตามค่าที่กำหนด และออกแบบวนซ้ำใหม่



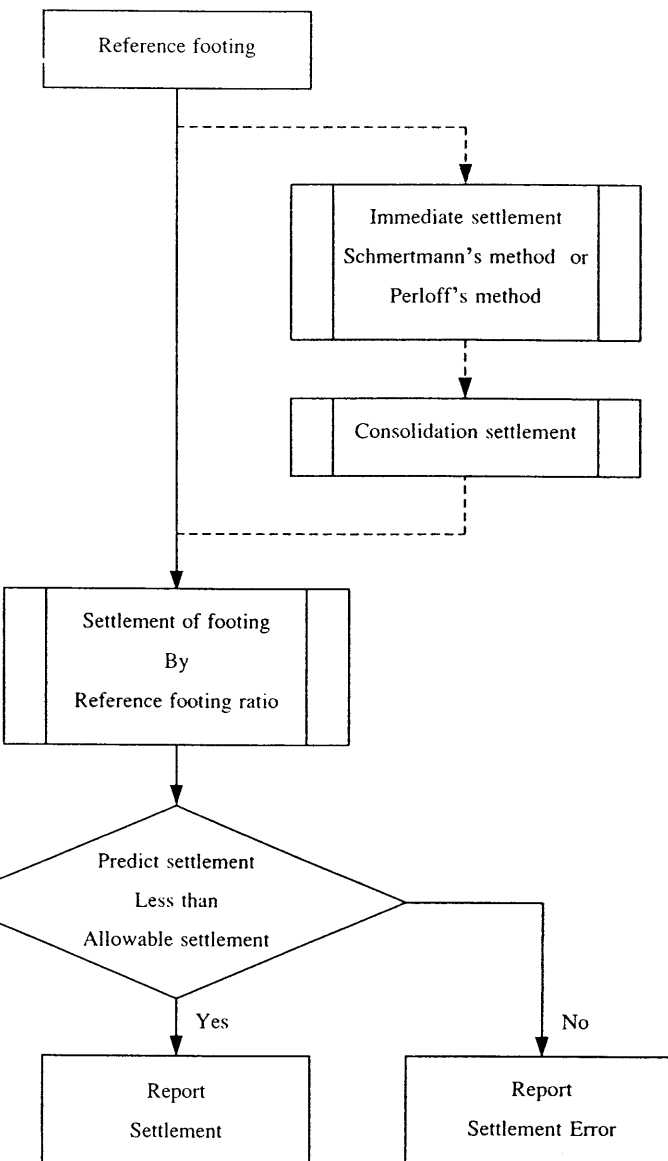
ภาพที่ 4.4 โพรเซสการออกแบบฐานรากสี่เหลี่ยมจัตุรัสตามค่ากำลังรับน้ำหนักบรรทุกของดิน

อธิบายโดยงายโครงสร้างภาพที่ 4.5 การตรวจสอบฐานรากสี่เหลี่ยมจากค่ากำลังรับน้ำหนักบรรทุกของดิน ใช้ เมนูการทบทวนการออกแบบ(Redesign) เมนูนี้สร้างขึ้นเพื่อให้ผู้ใช้โปรแกรมสามารถกำหนดขนาดฐานรากตาม ความเหมาะสม ซึ่งการออกแบบจะออกแบบฐานรากเป็นสี่เหลี่ยมจัตุรัสแต่สำหรับเมนูนี้ใช้ได้ทั้งสี่เหลี่ยมจัตุรัส หรือสี่เหลี่ยมผืนผ้า ดังนั้นจึงต้องทราบค่าขนาดของฐานรากจริงที่ใช้งานเพื่อตรวจสอบกำลังรับน้ำหนักบรรทุก ปลอดภัยของดินมากกว่าแรงดันดินได้ฐานรากหรือไม่ ถ้าไม่ปลอดภัยโปรแกรมจะรายงานผลเตือนผู้ใช้โดยราย งานผลทางเอกสารและสืบของฐานรากที่แสดงบนโปรแกรมจะแสดงสีแตกต่างออกไปจากเดิม

อธิบายโดยงายโครงสร้างภาพที่ 4.6 การตรวจสอบฐานรากจากค่าการทรุดตัวของฐานรากอ้างอิง ใช้เมนูการ ทรุดตัวไม่เท่ากัน(Differential settlement) การตรวจสอบจะต้องเลือกรากอ้างอิงเพื่อใช้ในการหาอัตราส่วน การทรุดตัวของฐานรากอ้างอิงกับฐานรากอื่นๆภายในอาคาร เพื่อหาค่าการทรุดตัวของฐานรากทั้งหมดของ อาคาร ซึ่งการเลือกรากอ้างอิงจะต้องกำหนดค่าการทรุดตัวของฐานรากด้วย โปรแกรมสามารถให้ผู้ใช้เลือก ล้วนเสริมในการประมาณค่าการทรุดตัวแบบทันทีทันใดและการอัดตัวอย่างน้ำ เพื่อประมาณค่าการทรุดตัวของ ฐานรากอ้างอิง หลังจากนั้นโปรแกรมจะทำการประมาณค่าการทรุดตัวจากอัตราส่วนการทรุดตัวของฐานรากและ ส่งรายงานค่าที่ได้ว่ามีความปลอดภัยตามค่าที่ยอมให้ของการทรุดตัวหรือไม่



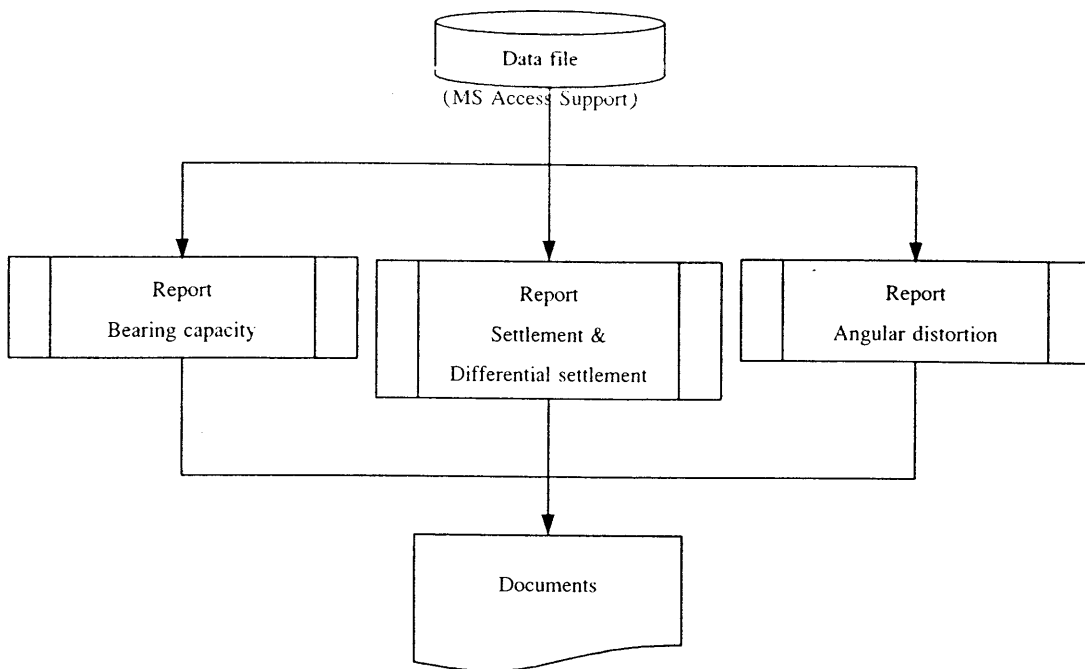
ภาพที่ 4.5 โครงสร้างการตรวจสอบฐานรากสี่เหลี่ยมจากค่ากำลังรับน้ำหนักบรรทุกของดิน



ภาพที่ 4.6 โครงสร้างการตรวจสอบฐานรากจากค่าการทรุดตัวของฐานรากอ้างอิง

### (3) ผลลัพธ์

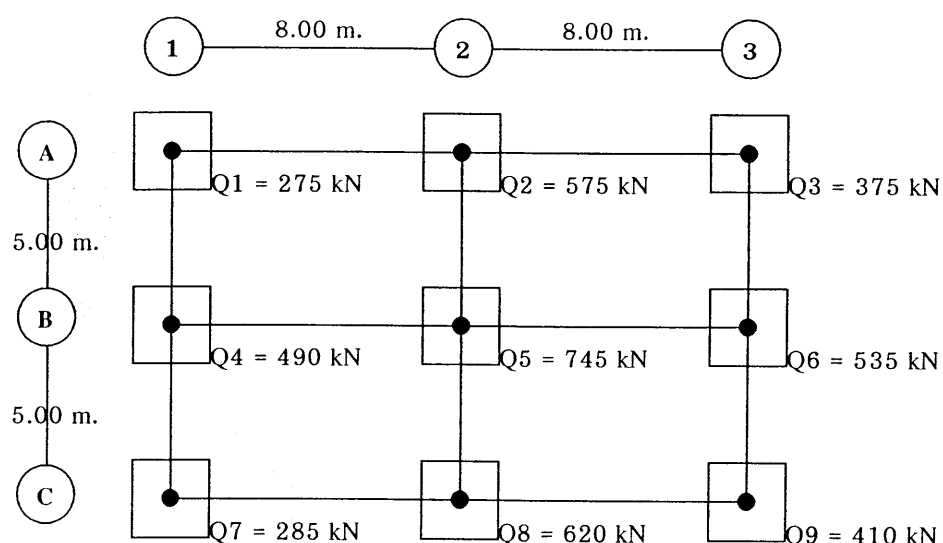
การรายงานผลลัพธ์ของการออกแบบและตรวจสอบได้รายงานผลผ่านเมนูรายงาน(Report) ซึ่งได้แบ่งการรายงานออกเป็น 3 ส่วน ดังแสดงในภาพที่ 4.7 คือ รายงานขนาดฐานรากในการออกแบบและตรวจสอบ ตามค่ากำลังรับน้ำหนักบรรทุกของดิน รายงานค่าการทรุดตัวและการทรุดตัวไม่เท่ากันของฐานราก และรายงานค่ามุนบิตระหว่างฐานราก ทุกรายงานสามารถส่งออกผ่านเครื่องพิมพ์ได้ และบันทึกข้อมูลเก็บไว้ในรูปแบบของไฟล์ Microsoft Access



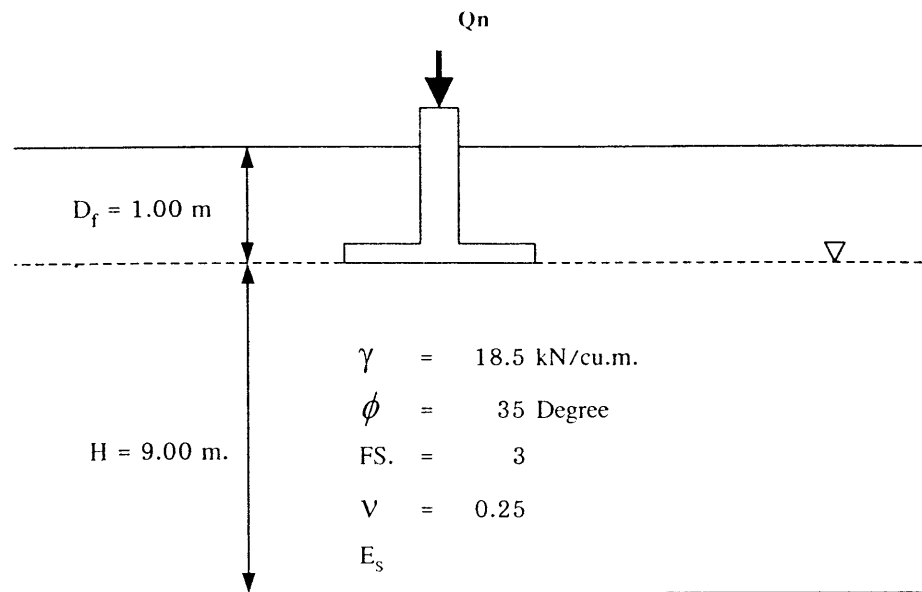
ภาพที่ 4.7 โครงสร้างรายงานผลลัพธ์ของโปรแกรม

## 2. การตรวจสอบผลการวิเคราะห์

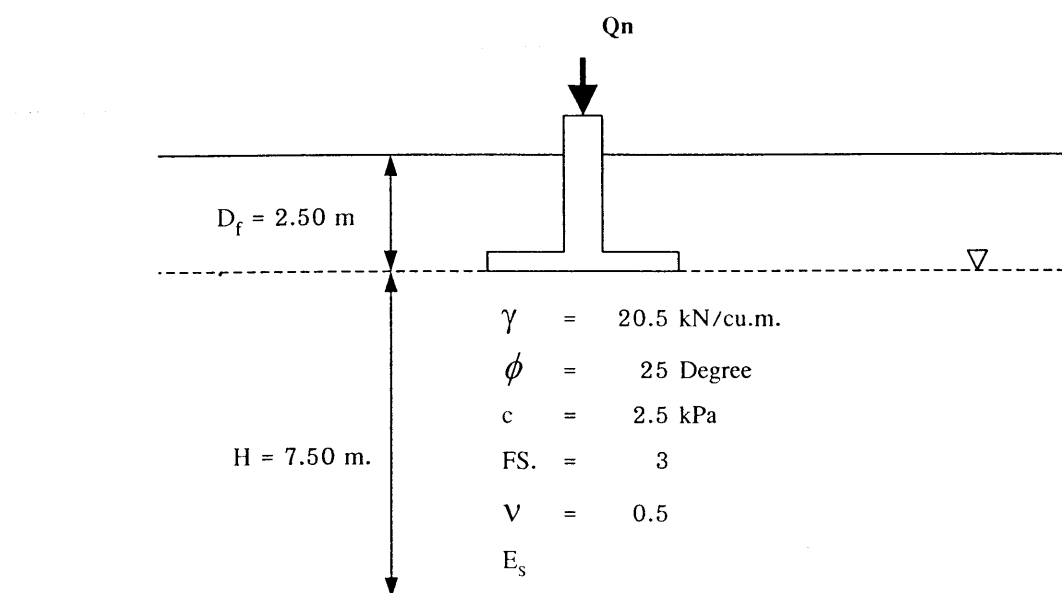
โปรแกรมที่ได้รับการพัฒนาจะต้องได้รับการตรวจสอบความถูกต้องและแม่นยำของโปรแกรม ซึ่งนำผลการวิเคราะห์ด้วยผลการคำนวณเมื่อ มาตรวจสอบผลการวิเคราะห์ การตรวจสอบโปรแกรมเพื่อให้เห็นถึงความถูกต้อง จึงยกตัวอย่างแปลนฐานรากดังแสดงในภาพที่ 4.8 และ ภาพตัวอย่างตามสภาพดินแบบมีแรงยึดเหนี่ยว และไม่แรงยึดเหนี่ยวดังแสดงในภาพที่ 4.9 และ 4.10 โดยแบ่งการตรวจสอบออกส่วนๆ ดังนี้



ภาพที่ 4.8 แปลนฐานรากที่มีน้ำหนักกระทำลงบนฐานรากแต่ละตัน



ภาพที่ 4.9 ตัวอย่างการตรวจสอบการออกแบบขนาดของฐานรากบนดินที่ไม่มีแรงยึดเหนี่ยว



ภาพที่ 4.10 ตัวอย่างการตรวจสอบการออกแบบขนาดของฐานรากบนดินที่มีแรงยึดเหนี่ยว

ตรวจสอบการประมาณค่ากำลังรับน้ำหนักบรรทุกตามแบบจำลองของ Terzaghi ในกรณีการพิบัติแบบแรงเฉือนทั่วไป ผลการคำนวณเปรียบเทียบแสดงดังตารางที่ 4.1 ซึ่งการคำนวณใช้ค่า

$$N_c = 57.75$$

$$N_q = 41.44$$

$$N_\gamma = 45.41$$

ตรวจสอบการประมาณค่ากำลังรับน้ำหนักบรรทุกตามแบบจำลองของ Terzaghi ในกรณีการพิบัติแบบแรงเฉือนเฉพาะที่ ผลการคำนวณเปรียบเทียบแสดงดังตารางที่ 4.2 ซึ่งการคำนวณใช้ค่า

$$N_c = 25.18$$

$$N_q = 12.75$$

$$N_\gamma = 8.35$$

ตรวจสอบการประมาณค่ากำลังรับน้ำหนักบรรทุกตามแบบจำลองของ Vesic ในกรณีการพิบัติแบบแรงเฉือนทั่วไป ผลการคำนวณเปรียบเทียบแสดงดังตารางที่ 4.3 ซึ่งการคำนวณใช้ค่า

$$N_c = 20.27$$

$$N_q = 10.66$$

$$N_\gamma = 10.87$$

ในกรณีการพิบัติแบบแรงเฉือนเฉพาะที่ กำหนดให้ค่า  $E_s$  ของดินที่มีแรงยืดเห็นี่ยวและไม่มีแรงยืดเห็นี่ยวเท่ากับ 3000 kPa ผลการคำนวณเปรียบเทียบแสดงดังตารางที่ 4.4

ตรวจสอบการประมาณค่าการทรุดตัวในดินที่ไม่มีแรงยืดเห็นี่ยว ในที่นี้เลือกรากอ้างอิงที่ B2 ใช้แบบจำลองของ Terzaghi กรณีการพิบัติแบบแรงเฉือนทั่วไปอ้างอิงตารางที่ 4.1 การประมาณค่าการทรุดตัวทันทีทันใด โดยวิธีการของ Schmertmann ตัวประกอบของเวลาศึกษา 10 ปี โดยกำหนดค่า  $E_s$  ของดินเท่ากับ 25,000 kPa ดังแสดงผลการคำนวณเปรียบเทียบในตารางที่ 4.5

ตรวจสอบการประมาณค่าการทรุดตัวในดินที่มีแรงยืดเห็นี่ยว ในที่นี้เลือกรากอ้างอิงที่ B2 ใช้แบบจำลองของ Terzaghi กรณีการพิบัติแบบแรงเฉือนทั่วไปอ้างอิงตารางที่ 4.1 การประมาณค่าการทรุดตัวทันทีทันใด โดยวิธีการของ Perloff โดยกำหนดค่า  $E_s$  ของดินเท่ากับ 20,000 kPa ดังแสดงผลการคำนวณเปรียบเทียบในตารางที่ 4.6 และเมื่อรวมการประมาณค่าการทรุดตัวเนื่องจากการอัดตัวคายน้ำ มีทิศทางการไหลของน้ำออกทางชั้นดินด้านล่าง ซึ่งผลการคำนวณเปรียบเทียบแสดงดังตารางที่ 4.7 โดยกำหนดค่าให้

$$C_c/(1+e_o) = 0.14$$

$$c_v = 0.0021 \text{ m}^2/\text{day}$$

$$t = 10 \text{ ปี}$$

ตรวจสอบการประมาณค่าการทรุดตัวไม่เท่ากัน และมุมบิด โดยใช้ฐานรากอ้างอิง B2 ซึ่งอ้างอิงข้อมูลตารางที่ 4.5 ผลการคำนวณเปรียบเทียบแสดงในตารางที่ 4.8

ตารางที่ 4.1 ขนาดของฐานรากที่คำนวณจากกำลังรับน้ำหนักของดินที่ยอมให้ในการใช้แบบจำลอง Terzaghi กรณีการพิบัติแรงเฉือนทั่วไป

ฐานราก	ดินที่มีแรงยึดเหนี่ยว (m.)		ดินที่ไม่มีแรงยึดเหนี่ยว (m.)	
	ค่านวนมือ	โปรแกรมที่พัฒนา	ค่านวนมือ	โปรแกรมที่พัฒนา
A1	1.08	1.08	0.96	0.96
A2	1.54	1.54	1.35	1.35
A3	1.25	1.25	1.11	1.11
B1	1.42	1.42	1.25	1.25
B2	1.74	1.74	1.51	1.51
B3	1.48	1.48	1.30	1.30
C1	1.09	1.09	0.98	0.98
C2	1.59	1.59	1.39	1.39
C3	1.30	1.30	1.16	1.16

ตารางที่ 4.2 ขนาดของฐานรากที่คำนวณจากกำลังรับน้ำหนักของดินที่ยอมให้ในการใช้แบบจำลอง Terzaghi กรณีการพิบัติแรงเฉือนเฉพาะที่

ฐานราก	ดินที่มีแรงยึดเหนี่ยว (m.)		ดินที่ไม่มีแรงยึดเหนี่ยว (m.)	
	ค่านวนมือ	โปรแกรมที่พัฒนา	ค่านวนมือ	โปรแกรมที่พัฒนา
A1	1.71	1.71	1.76	1.76
A2	2.44	2.44	2.45	2.45
A3	1.99	1.99	2.02	2.02
B1	2.26	2.26	2.28	2.28
B2	2.76	2.76	2.75	2.75
B3	2.36	2.36	2.37	2.37
C1	1.74	1.74	1.79	1.79
C2	2.53	2.53	2.53	2.53
C3	2.07	2.07	2.11	2.11

ตารางที่ 4.3 ขนาดของฐานรากที่คำนวณจากกำลังรับน้ำหนักของดินที่ยอมให้ในการใช้แบบจำลอง Vesic  
กรณีการพิบัติแรงเฉือนทั่วไป

ฐานราก	ดินที่มีแรงดันเนื้ียว (m.)		ดินที่ไม่มีแรงดันเนื้ียว (m.)	
	คำนวณมือ	โปรแกรมที่พัฒนา	คำนวณมือ	โปรแกรมที่พัฒนา
A1	0.85	0.85	0.79	0.79
A2	1.24	1.24	1.12	1.12
A3	1.00	1.00	0.92	0.92
B1	1.14	1.14	1.03	1.03
B2	1.41	1.41	1.28	1.28
B3	1.19	1.19	1.08	1.08
C1	0.87	0.87	0.80	0.80
C2	1.29	1.29	1.16	1.16
C3	1.04	1.04	0.96	0.96

ตารางที่ 4.4 ขนาดของฐานรากที่คำนวณจากกำลังรับน้ำหนักของดินที่ยอมให้ในการใช้แบบจำลอง Vesic  
กรณีการพิบัติแรงเฉือนเฉพาะที่

ฐานราก	ดินที่มีแรงดันเนื้ียว (m.)		ดินที่ไม่มีแรงดันเนื้ียว (m.)	
	คำนวณมือ	โปรแกรมที่พัฒนา	คำนวณมือ	โปรแกรมที่พัฒนา
A1	0.88	0.88	0.84	0.84
A2	1.28	1.28	1.19	1.19
A3	1.03	1.03	0.98	0.98
B1	1.18	1.18	1.10	1.10
B2	1.46	1.46	1.36	1.36
B3	1.23	1.23	1.15	1.15
C1	0.89	0.89	0.85	0.85
C2	1.33	1.33	1.24	1.24
C3	1.07	1.07	1.00	1.00

ตารางที่ 4.5 ผลการคำนวณค่าการทรุดตัวแบบทันทีทันใด ในการใช้วิธีการประมาณของ Schmertmann

ฐานราก	ขนาดฐานราก (m.)	คำนวณมือ <sup>†</sup> (mm.)	โปรแกรมที่พัฒนา (mm.)
A1	1.00	12.01	12.01
A2	1.40	17.94	17.94
A3	1.20	13.65	13.65
B1	1.40	15.29	15.29
B2	1.60	20.34	20.34
B3	1.40	16.69	16.69
C1	1.00	12.45	12.45
C2	1.40	19.34	19.34
C3	1.20	14.92	14.92

หมายเหตุ ค่าการทรุดตัวเฉพาะฐานรากอ้างอิงที่คำนวณโดยวิธีการของ Schmertmann ส่วนฐานรากอื่นใช้อัตราส่วนการทรุดตัวเทียบ

ตารางที่ 4.6 ผลการคำนวณค่าการทรุดตัวแบบทันทีทันใด ในการใช้วิธีการประมาณของ Perloff

ฐานราก	ขนาดฐานราก (m.)	คำนวณมือ <sup>†</sup> (mm.)	โปรแกรมที่พัฒนา (mm.)
A1	1.20	7.28	7.28
A2	1.60	11.41	11.41
A3	1.40	8.50	8.50
B1	1.60	9.72	9.72
B2	1.80	13.14	13.14
B3	1.60	10.62	10.62
C1	1.20	7.54	7.54
C2	1.60	12.30	12.30
C3	1.40	9.30	9.30

หมายเหตุ ค่าการทรุดตัวเฉพาะฐานรากอ้างอิงที่คำนวณโดยวิธีการของ Perloff ส่วนฐานรากอื่นใช้อัตราส่วนการทรุดตัวเทียบ

ตารางที่ 4.7 ผลการคำนวณค่าการทรุดตัวในการใช้วิธีการประมาณของ Perloff รวมกับการทรุดตัวเนื่องจาก การอัดตัวด้วยน้ำที่เวลา 10 ปี

ฐานราก	ขนาดฐานราก (m.)	คำนวณเมื่อ (mm.)	โปรแกรมที่พัฒนา (mm.)
A1	1.20	31.98	31.98
A2	1.60	50.15	50.15
A3	1.40	37.38	37.38
B1	1.60	42.74	42.74
B2	1.80	57.76	57.76
B3	1.60	46.66	46.66
C1	1.20	33.14	33.14
C2	1.60	54.08	54.08
C3	1.40	40.87	40.87

ตารางที่ 4.8 ผลการคำนวณค่าการทรุดตัวไม่เท่ากัน และมุมบิด

ฐานราก ถึง ฐานราก	ค่าการทรุดตัวไม่เท่ากัน (mm.)		ค่ามุมบิด (เรเดียน)	
	คำนวณเมื่อ	โปรแกรมที่พัฒนา	คำนวณเมื่อ	โปรแกรมที่พัฒนา
A1 – B1	3.28	3.28	6.55E-0.4	6.55E-0.4
A1 – A2	5.93	5.93	7.41E-04	7.41E-04
A1 – B2	8.33	8.33	8.83E-04	8.83E-04
A2 – B2	2.40	2.40	4.80E-04	4.80E-04
A2 – A3	4.29	4.29	5.36E-04	5.36E-04
A2 – B3	1.25	1.25	1.32E-04	1.32E-04
A3 – B3	3.04	3.04	6.08E-04	6.08E-04
B1 – C1	2.84	2.84	5.68E-04	5.68E-04
B1 – B2	5.05	5.05	6.31E-04	6.31E-04
B1 – C2	4.05	4.05	4.30E-04	4.30E-04
B2 – C2	1.00	1.00	1.99E-04	1.99E-04
B2 – B3	3.65	3.65	4.56E-04	4.56E-04
B2 – C3	5.42	5.42	5.74E-04	5.74E-04
B3 – C3	1.77	1.77	3.54E-04	3.54E-04
C1 – C2	6.89	6.89	8.62E-04	8.62E-04
C2 – C3	4.42	4.42	5.53E-04	5.53E-04